

# ВНУТРИЦЕНТРОВЫЕ ПЕРЕХОДЫ В ЭФФЕКТЕ ФАРАДЕЯ Со-СОДЕРЖАЩИХ ПОЛУМАГНИТНЫХ ПОЛУПРОВОДНИКОВ

© С.В.Мельничук, А.И.Савчук, Д.Н.Трифоненко

Черновицкий государственный университет,  
274012 Черновцы, Украина  
(Поступила в Редакцию 18 августа 1995 г.)

Исследуется влияние внутрицентровых переходов на спектральную зависимость константы Верде  $V(E)$  в Со-содержащем полумагнитном полупроводнике  $Cd_{1-x}Co_xTe$ . Показано, что учет внутрицентровых переходов позволяет объяснить немонотонный характер низкотемпературной зависимости  $V(E)$  в области энергий фотонов вблизи края фундаментального поглощения.

За последние два десятилетия полумагнитные полупроводники (ПМП) выделились в новый класс материалов, а их исследования сформировали перспективное направление в физике твердого тела. Большинство из проведенных исследований посвящено твердым растворам типа  $A_{1-x}^2M_xB^6$  или легированным кристаллам  $A^6B^6 : M$ , где в качестве магнитной компоненты М использованы ионы  $Mn^{2+}$ . Именно на Mn-содержащих ПМП впервые были обнаружены уникальные магнитооптические эффекты большого расщепления зонных и экситонных состояний и гигантский эффект Фарадея, обусловленные сильным обменным взаимодействием между локализованными магнитными моментами  $Mn^{2+}$  и делокализованными моментами зонных электронов (так называемое  $s, p-d$ -обменное взаимодействие). Наряду с этим стали появляться публикации, отражающие специфику свойств других переходных металлов из группы железа и редкоземельных элементов в базовой матрице. В частности, для Со-содержащих ПМП, по данным недавних исследований [1,2], межионное  $d-d$ -обменное взаимодействие значительно сильнее, чем в классической системе  $A_{1-x}^2Mn_xB^6$ . С другой стороны, константы  $s, p-d$ -обменного взаимодействия для этих двух групп ПМП мало отличаются друг от друга [3]. Кроме того, внедрение ионов Со в кристаллическую решетку симметрии  $T_d$  или  $C_{3v}$  сопровождается появлением целой группы энергетических уровней внутрицентрового характера, переходы между которыми наблюдаются в спектре поглощения в области энергий фотонов, меньших ширины запрещенной зоны кристалла ( $E \leq E_g$ ). Ранее в работе [4] нами изучалась структура внутрицентровых переходов по спектрам магнитопоглощения. В настоящей работе теоретически и экспериментально изучено влияние внутрицентровых переходов на спектральную зависимость фарадеевского вращения в кристаллах  $Cd_{1-x}Co_xTe$ .

# 1. Экспериментальные методики

Измерения угла фарадеевского вращения плоскости поляризации  $\theta$  в зависимости от длины волны падающего излучения проводились с использованием двух различных методик. В первом случае прошедшее через образец излучение призмой Волластона разделялось на два световых потока, модулируемых затем с фазовым сдвигом  $180^\circ$ . В отсутствие магнитного поля схема балансировалась путем уравнивания интенсивностей двух потоков излучения, а появляющийся при включении магнитного поля сигнал разбалансировки автоматически регистрировался. Стационарное магнитное поле напряженностью до 32 кОе создавалось электромагнитом СП-58Б с водяным охлаждением. Во втором варианте эксперименты выполнялись в сильном импульсном магнитном поле напряженностью до 250 кОе. Дифракционные монохроматоры МДР-3 и МДР-23 обеспечивали возможность исследований в спектральном интервале 700–1000 нм с разрешающей способностью не хуже 0.3 нм. Источником излучения служила галогенная лампа накаливания с кварцевым баллоном. Для низкотемпературных измерений в интервале 5–295 К исследуемые образцы монтировались на хладопроводе гелиевого оптического криостата.

Монокристаллы  $Cd_{1-x}Co_xTe$  ( $x \leq 0.02$ ) были выращены вертикальным методом Бриджмена или методом горизонтально направленной кристаллизации. Узость композиционного интервала исследованных твердых растворов обусловлена ограниченной растворимостью кобальта в теллуриде кадмия. Состав задавался загрузкой исходных компонент и контролировался с помощью атомно-абсорбционного и микрозондового анализов.

## 2. Расчет

В качестве количественной характеристики величины эффекта Фарадея выступает константа Верде  $V = \frac{\theta}{Hd}$ . Угол вращения плоскости поляризации  $\theta$  зависит от энергии падающего света  $E$

$$\theta = \frac{Ed}{2\hbar c} \left( n^+(E) - n^-(E) \right), \quad (1)$$

где  $d$  — толщина образца,  $H$  — напряженность магнитного поля,  $n^\pm(E)$  — показатели преломления для право- и левополяризованной компонент падающего света. При изучении эффекта Фарадея в ПМП общее выражение (1) требует модификации, связанной с учетом как магнитной системы атомов, так и их обменного взаимодействия со свободными носителями.

Описание спектральной зависимости угла фарадеевского вращения проводилось в различных моделях, в том числе и в рамках микроскопического подхода с учетом зависимости  $s, p-d$ -обменного интеграла от квазимпульса [5]. Учет  $s, p-d$ -обменного взаимодействия для соединений Mn является достаточным, поскольку основное состояние (орбитальный синглет  ${}^6A_1$ ) отдалено энергетически от первого возбужденного на значительную величину ( $\sim 2$  еВ). В случае  $Co^{2+}$  в исследуемом

интервале спектра (1.2–1.55 eV) существуют области внутрицентрового поглощения [4]. Переходы между основным и возбужденными уровнями существенным образом влияют на спектральную зависимость  $\theta$ .

Вклад внутрицентровых переходов в угол поворота плоскости поляризации света можно выделить из общего соотношения [6]

$$\theta(E) = \frac{\pi e^2 EN(\langle n \rangle^2 + 2)^2}{9mc\langle n \rangle} \sum_{a,b} \left[ \frac{(E + i\frac{\gamma_{ba}}{2})}{E_{ba} \left( E_{ba}^2 - E^2 + \frac{\gamma_{ba}^2}{4} \right) - iE\gamma_{ba}} \right] (f_{ba}^+ - f_{ba}^-). \quad (2)$$

Суммирование в (2) ведется по энергетическим разностям ( $E_{ba} = E_b - E_a$ ) с учетом больцмановского заполнения ( $\rho_a^0$ ) нижних уровней;  $f_{ba}^\pm$  — сила осциллятора электродипольных переходов для лево- и правоизализованного света,

$$f_{ba}^\pm = \frac{2mE_{ba}}{\hbar e^2} \left| \langle b | \frac{e}{m} EE_{ba} r_\pm | a \rangle \right|^2 \rho_a^0, \quad (3)$$

$N$  — концентрация примеси,  $\langle n \rangle$  — показатель преломления матрицы, параметр  $\gamma_{ba}$  учитывает затухание.

Гамильтониан иона  $\text{Co}^{2+}$  в кристаллическом поле ( $H_{\text{cf}}$ ) симметрии  $T_d$  с учетом спин-орбитального ( $H_{\text{so}}$ ) и зеемановского ( $H_z$ ) взаимодействий имеет вид

$$H = H_0 + H_{\text{cf}} + H_{\text{so}} + H_z, \quad (4)$$

где  $H_0$  — гамильтониан изолированного иона,

$$H_{\text{so}} = \lambda(LS), \quad (5)$$

$$H_z = \mu_B H (L_z + 2S_z), \quad (6)$$

$\lambda$  — константа спин-орбитального взаимодействия,  $\mu_B$  — магнетон Бора,  $H$  — напряженность магнитного поля.

Исследуемая область спектра отвечает переходам с орбитально-синглета  ${}^4G_2({}^4F)$  на орбитальный триплет  ${}^4G_4({}^4P)$ . Параметр кристаллического поля  $Dq = 1140 \text{ cm}^{-1}$  [7]. Учет  $H_{\text{so}}$  ( $\lambda_{G_2} = -120 \text{ cm}^{-1}$ ,  $\lambda_{G_4} = -180 \text{ cm}^{-1}$  [7]) во втором порядке теории возмущений приводит к дальнейшему расщеплению уровней (рис. 1).

Волновые функции спин-орбитальных состояний  $G_8$  ( ${}^4G_2({}^4F)$ ) и  $G_7G_8^\varphi, G_8^\psi, G_6$  ( ${}^4G_4({}^4P)$ ) определялись как линейные комбинации произведений [8]

$$\Psi_{\Gamma\gamma} = \sum_{\gamma_1, \gamma_2} \langle \Gamma_1 \gamma_1, \Gamma_2 \gamma_2 | \Gamma\gamma \rangle \Psi_{\Gamma_1 \gamma_1} \Psi_{\Gamma_2 \gamma_2}, \quad (7)$$

где  $\langle \Gamma_1 \gamma_1, \Gamma_2 \gamma_2 | \Gamma\gamma \rangle$  — коэффициенты Клебша—Гордана,  $\Psi_{\Gamma_1 \gamma_1}, \Psi_{\Gamma_2 \gamma_2}$  — волновые функции орбитального и спинового подпространств. Например, для состояний  $G_7$  ( ${}^4G_4({}^4P)$ )

$$\Psi_{-1/2} = 1/\sqrt{2} |1\bar{1}/2\rangle + 1/\sqrt{6} |\bar{1}3/2\rangle - 1/\sqrt{6} (|2\bar{3}/2\rangle - |\bar{2}\bar{3}/2\rangle),$$

$$\Psi_{1/2} = -1/\sqrt{2} |\bar{1}1/2\rangle - 1/\sqrt{6} |1\bar{3}/2\rangle - 1/\sqrt{6} (|23/2\rangle - |2\bar{3}/2\rangle),$$

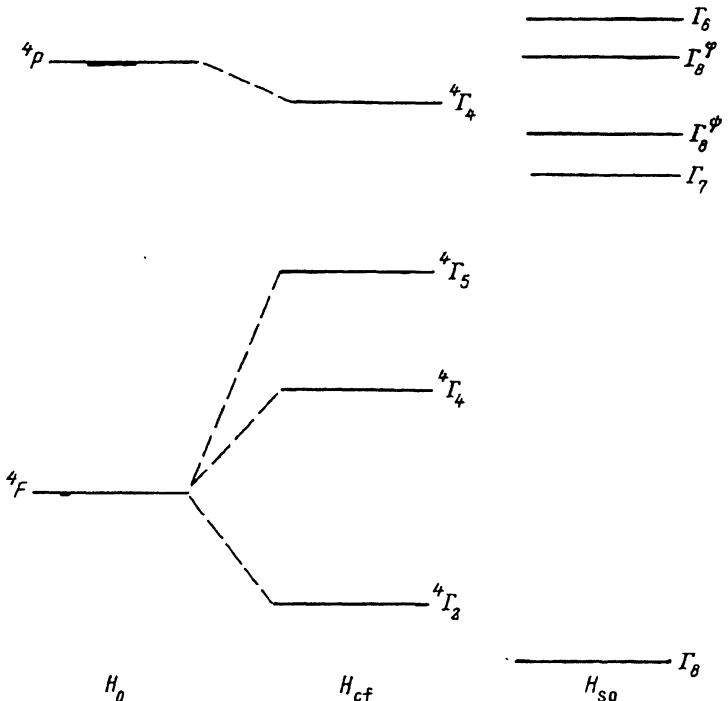


Рис. 1. Схема расщепления орбитальных уровней  ${}^4\Gamma_2({}^4F)$  и  ${}^4\Gamma_4({}^4P)$   $\text{Co}^{2+}$  в кристаллах  $\text{Cd}_{1-x}\text{Co}_x\text{Te}$ .

где черта в функции  $|M_L M_S\rangle$  означает отрицательную проекцию соответствующего момента. Влияние магнитного поля на полученные уровни находим в первом порядке теории возмущений по  $H_z$ .

Подставляя полученный энергетический спектр в (2), получим вклад внутрицентровых переходов в спектральную зависимость угла фарадеевского вращения (рис. 2, а).

### 3. Экспериментальные результаты и обсуждение

Результаты измерения константы Верде  $V(E)$  для исследуемого образца в зависимости от энергии фотонов при двух температурах показаны на рис. 2, б. При температуре жидкого гелия зависимость  $V(E)$  содержит несколько экстремумов, и постоянная Верде несколько раз меняет знак. На соответствующей кривой при комнатной температуре отсутствуют какие-либо спектральные особенности, и она качественно подобна дисперсии фарадеевского вращения для базового кристалла  $\text{CdTe}$ .

Наблюдаемый сложный характер низкотемпературной зависимости  $V(E)$  можно объяснить участием в эффекте Фарадея внутрицентровых переходов в ионах  $\text{Co}^{2+}$ . Действительно, в соответствующем спектральном интервале ранее была зафиксирована структура в спектре поглощения легированных кристаллов  $\text{CdTe} : \text{Co}$  [4, 7], обусловленная переходами между состояниями  $\Gamma_8({}^4\Gamma_2)$  и  $\Gamma_7({}^4\Gamma_4)$ . На основе проведенно-

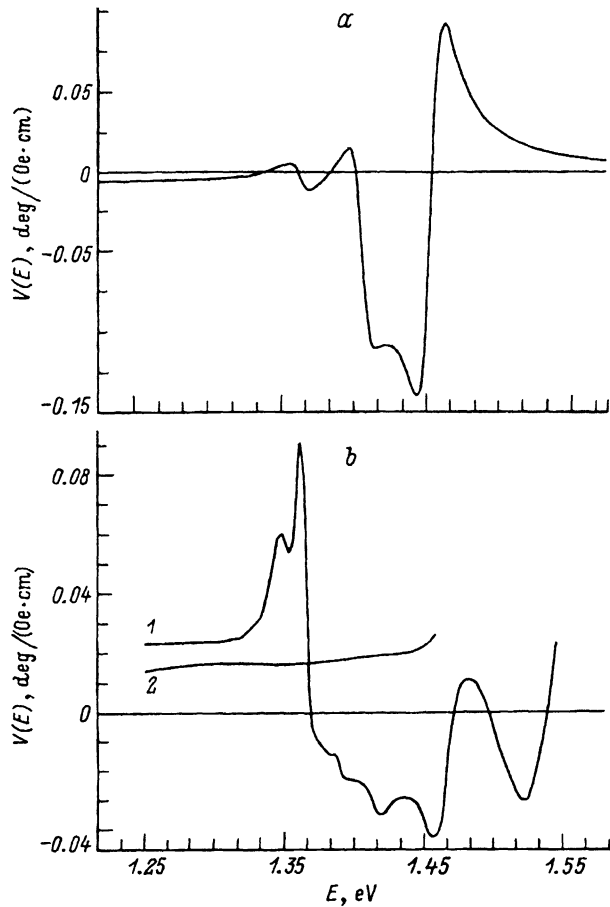


Рис. 2. Спектральная зависимость константы Верде для  $\text{Cd}_{1-x}\text{Co}_x\text{Te}$ .  
а — расчет, б — эксперимент.  $T(\text{K})$ : 1 — 5, 2 — 295.

го выше теоретического рассмотрения две наиболее интенсивные положительные полосы (кривая 1 на рис. 2, б) с максимумами при  $E = 1.348$  и  $1.362$  eV можно сопоставить переходам  $\Gamma_8(^4\Gamma_2) \rightarrow \Gamma_7, \Gamma_8^\varphi, \Gamma_8^\psi, \Gamma_6(^4\Gamma_4)$  (рис. 1). Расчетная и экспериментальная кривые лучше всего совпадают при значении параметра затухания  $\gamma_{ba} = 130 \text{ cm}^{-1}$ . С другой стороны, сильное расхождение результатов для третьего, наиболее коротковолнового положительного пика при  $E = 1.485$  eV, по-видимому, обусловлено влиянием отрицательного по знаку вклада в фарадеевское вращение от  $s, p-d$ -обменного взаимодействия между зонными носителями и магнитными ионами. Оценить этот вклад не представляется возможным ввиду отсутствия сведений об обменных константах для кристалла  $\text{Cd}_{1-x}\text{Co}_x\text{Te}$ . Однако очевидно, что такой вклад возрастает по мере приближения энергии фотонов к значению  $E_g$ , что и отражается на форме наблюдаемой экспериментально спектральной зависимости фарадеевского вращения.

## Список литературы

- [1] Giebultowicz T.M., Klosowski P., Rhyne J.J., Udovic T.J., Furdyna J.K., Giriak W. Phys. Rev. **B41**, 1, 504 (1990).
- [2] Levicki A., Shindler A.I., Miotkowski I., Furdyna J.K. Phys. Rev. **B41**, 7, 4653 (1990).
- [3] Twardowski A. Physica Scripta **T39**, 124 (1991)
- [4] Бабий П.И., Личук М.В., Савчук А.И., Мельничук С.В., Ватаманюк П.П., Гавалешко Н.П. ФТТ. **27**, 4, 1124 (1985).
- [5] Hugonnard-Bruyere S., Buss C., Vouilloz F., Frey K., Flytzanis C. Phys. Rev. **B50**, 4, 2200 (1994)
- [6] Shen Y.R. Phys. Rev. **133**, 2A, 511 (1964)
- [7] Бабий П.И., Букивский П.Н., Гавалешко Н.П., Гнатенко Ю.П. Препринт ИФ АН УССР № 21. Киев (1982). 25 с.
- [8] Koster G.F., Dimmock J.O., Wheeler R.G., Stasz H.P. Properties of the Thirty-Two Point Group. MIT Press. (1963).